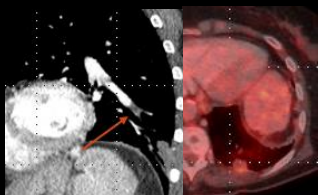
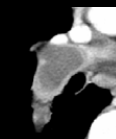
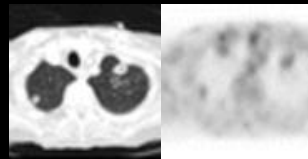
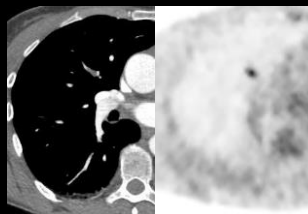


Embolie pulmonaire et FDG

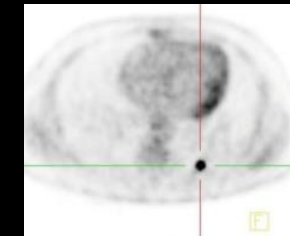
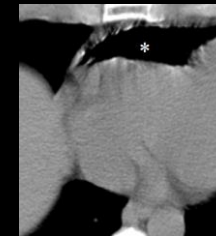
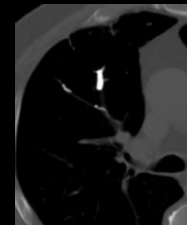
Fibrino-cruorique	Tumorale (macro)	Tumorale (micro)	Septique	Corps étrangers et apparentés	Gazeuse	Caillot de FDG « hot clot artifacts »
<p>MTE: risque x4 avec le cancer</p> <p>+++Estomac, pancréas ++Poumon, lymphome, gynéco, vessie, testicule</p>	<p>CHC, rein, choriocarcinome = Tumeurs envahissant le système veineux (VCI...)</p>	<p>CHC, Estomac, Sein, Prostate</p>	<p>- Matériel endovasculaire infecté - EI tricuspide - EP hydatique</p>	<p>-Cathéter mal placé, stent fracturé... - Ciment - Mercure, talc, lipiodol...</p>	<p>Complication de trauma/chir thoracique Létale pour 200-500 mL</p>	<p>Complication de l'injection du traceur (aspiration du sang dans l'injecteur, extravasation)</p>
<p>Aiguë: occlusion totale+augmentation du calibre artériel ou occlusion partielle (en « rail, cible, selle »)</p> <p>Chronique: diminution du calibre, thrombus à angle obtus</p>	<p>Rehaussement de la composante tumorale (<i>dg diff: angiosarcome</i>)</p>	<p>Aspect en « tree in bud »</p>	<p>Nodules sous pleuraux (+/- excavés) ou opacités à base périphérique</p>		<p>Présence d'air dans les cavités droites et l'AP (mettre le patient en décubitus latéral gauche)</p>	<p>Microembolies</p>
<p>FDG +/-</p>	<p>FDG + à ++ Thrombus</p>	<p>FDG+ Micronodules</p>	<p>FDG +/- à ++ Nodules</p>	<p>FDG +/- Hyperdensité</p>	<p>FDG – Gaz</p>	<p>FDG +++ Pas de thrombus visible</p>



infarctus pulmonaire
« rim sign »



EP hydatique:
densité hydrique



Embolies pulmonaires non cruoriques Ce que le radiologue doit savoir... Discepolo F, MD; Mesurolle B, MD; Qanadli S, MD, PhD; Mignon F, MD. Montréal - Canada, McGill University Health Center

<http://pe.sfrnet.org/Data/ModuleConsultationPoster/pdf/2008/1/2b17f866-65b7-4b63-bce2-bed43a258c22.pdf>

[Korean J Radiol.](#) 2014 Jul-Aug;15(4):530-3. doi: 10.3348/kjr.2014.15.4.530. Epub 2014 Jul 9.

Hot-clot artifacts in the lung parenchyma on F-18 fluorodeoxyglucose positron emission tomography/CT due to faulty injection techniques: two case reports.

[Ozdemir E](#)¹, [Poyraz NY](#)¹, [Keskin M](#)¹, [Kandemir Z](#)¹, [Turkolmez S](#)¹.

[Eur J Nucl Med Mol Imaging.](#) 2012 Jan;39(1):183. doi: 10.1007/s00259-011-1932-8. Epub 2011 Sep 8.

Septic pulmonary embolisms and metastatic infections from methicillin-resistant Staphylococcus aureus endocarditis on FDG PET/CT.

[Gheysens O](#)¹, [Lips N](#), [Adriaenssens T](#), [Pans S](#), [Maertens J](#), [Herregods MC](#), [Herijgers P](#), [Peetermans WE](#), [Mortelmans L](#).

[Thromb Res.](#) 2015 Jan;135(1):31-5. doi: 10.1016/j.thromres.2014.10.008. Epub 2014 Oct 20.

Performance of 18F fluoro-2-désoxy-D-glucose positron emission tomography/computed tomography for the diagnosis of venous thromboembolism.

[Le Roux PY](#)¹, [Robin P](#)², [Delluc A](#)³, [Tardy B](#)⁴, [Abgral R](#)², [Couturaud F](#)³, [Reffad A](#)⁵, [Le Gal G](#)⁶, [Salaun PY](#)².

[Nucl Med Commun.](#) 2011 Sep;32(9):782-8. doi: 10.1097/MNM.0b013e32834774c8.

18F-FDG PET-CT in the diagnosis of tumor thrombus: can it be differentiated from benign thrombus?

[Sharma P](#)¹, [Kumar R](#), [Jeph S](#), [Karunanithi S](#), [Naswa N](#), [Gupta A](#), [Malhotra A](#).

[Clin Nucl Med.](#) 2013 Feb;38(2):e60-5. doi: 10.1097/RLU.0b013e318266d53e.

The value of 18F-FDG PET/contrast-enhanced CT in detection of tumor thrombus.

[Lee EY](#)¹, [Khong PL](#).

[Clin Nucl Med.](#) 2014 Sep;39(9):767-71. doi: 10.1097/RLU.0000000000000451.

Tumor thrombus: ancillary findings on FDG PET/CT in an oncologic population.

[Ravina M](#)¹, [Hess S](#), [Chauhan MS](#), [Jacob MJ](#), [Alavi A](#).